

УДК 69.059.22

ПРИМЕНЕНИЕ БУРО-ИНЬЕКЦИОННОЙ ТЕХНОЛОГИИ ПРИ ЗАЩИТЕ ОТ ОБРУШЕНИЯ СКЛОНА В Г. АЛУШТЕ

к.т.н. Попов А.В., инж. Тельных Н.Н., к.т.н. Цаплин Е.Г.,

к.т.н. Литовченко П.А. *, Коротков А.Н. **

ООО «ТИССА». Антрацит,

*Национальная академия природоохранного и курортного строительства,

Симферополь,

**КрымНИИпроект. Севастополь

Введение. Современное строительство на южном берегу Крыма (ЮБК) весьма проблематично без специальных мероприятий по укреплению основания из-за сложных горно-геологических условий. Как правило, строительство на ЮБК ведется в пределах нижней части южного макросклона главной гряды Крымских гор, где существует опасность оползневых явлений. В геологическом строении большинства площадок строительства принимают участие породы таврической серии верхнего триаса – нижней юры, перекрытые четвертичными отложениями и образованиями различного генезиса. В таких инженерно геологических условиях хорошо зарекомендовали себя инъекционные технологии укрепления оснований [1].

Анализ публикаций. ООО «ТИССА» в своей практике широко использует инъекционное укрепление грунтов в режиме напорной инъекции в грунт цементирующих растворов через вертикальные и наклонные скважины, оборудованные перфорированным инъектором (рис.1). Данная технология защищена патентом Украины [2]. Инъекционные уширения создаются по всей длине сваи, и их вклад в несущую способность сваи превышает несущую способность по боковой поверхности сваи, определяемую по методике норм [3]. Кроме того, инъекционные уширения снижают расчетную длину ствола сваи, что позволяет уменьшить их диаметр. В организации разработана методика расчета несущей способности таких свай, радиуса распространения раствора и объемов его нагнетания в зависимости от характеристик пересекаемых сваей грунтов.

Постановка задачи. Севернее автодороги Алушта – Судак при устройстве подъездных путей к соседнему дому без соответствующих инженерно мероприятий по укреплению склона была произведена его подрезка, что нарушило устойчивость склона. В результате активизации оползневых явлений началось обрушение склона с развитием многочисленных трещин в конструкциях строений, примыкающих к индивидуальному дому, возникла угроза разрушения здания (рис.2).

Методика решения задачи. Для принятия обоснованных проектных решений защиты здания по инициативе ООО «ТИССА», с привлечением ООО ««УКРНТЭК-ЭКОГЕОДИНАМИКА», были выполнены геофизические исследования на площадке строительства различными методами: структурно-геодинамического картирования – азимутального (СГДКА-А); регистрацией естественных импульсов электромагнитного поля Земли (ЕИЭМПЗ);

вертикального электроздондирования (ВЭЗ). Проведена комплексная интерпретация геологических и геофизических данных, составлена карта геодинамической зональности участка исследований. По результатам исследований определено геологическое строение грунтов склона, уровни грунтовых вод и выявлены зоны геодинамических нарушений склона.

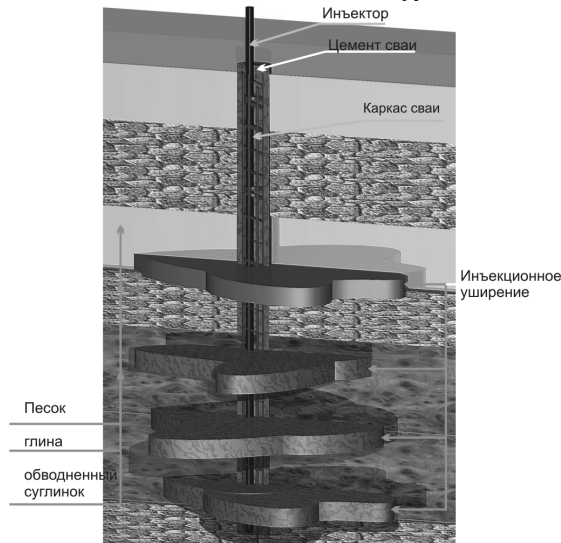


Рис. 1. Схема формирования буроинъекционной сваи с инъекционными уширениями



Рис. 2. Подрезка склона строящегося здания в г. Алушта

В геологическом разрезе участка выделены следующие напластования:

- современные техногенные образования представлены из гумусированным суглинком, дресвой и щебнем флишевых пород;
- верхнечетвертичные делювиально-пролювиальные отложения представлены суглинком коричнево-бурым, полутвердым, с дресвой и щебнем флишевых пород и дресвяно-щебенистым грунтом из пород таврического флиша с серовато-бурым суглинистым заполнителем;
- элювий пород таврической серии представлен аргиллитами серыми, буровато-серыми, тонкоплитчатыми, плитчатыми и листовыми сильно выветрелыми, с прослойями алевролитов и кварцевых песчаников.

В результате комплексного анализа геолого-геофизической информации в пределах участка исследований выделено две аномальных области, соответствующие геодинамическим зонам северо-восточного (СВ-1) и широтного (Ш-1) распространений (рис.3). По степени активности, выделенные геодинамические структуры являются высокоактивными. Непосредственно в пределах ГДЗ СВ-1 отмечено разрушение кирпичной кладки забора, а в пределах ширины развития ГДЗ Ш-1 сформированы трещины оползневых деформаций грунта.

Геодинамическая структура характеризуется смещением геоэлектрических границ по вертикали и аномальным сопротивлением слоев, что обусловлено разуплотнением пород и их повышенной проницаемостью. Измеренные кривые вертикального электрораззонирования (ВЭЗ) характеризуются сильным искажением, что обусловлено неоднородностью гидрогеологического и геодинамического строения массива. Уровень грунтовых вод и плоскость скольжения выделялись по характерным, повторяющимся искажениям кривых. По данным ВЭЗ, пройденным по всем профилям исследований в пределах геодинамической структуры СВ-1 отмечается погружение подошвы геоэлектрического слоя, что может быть обусловлено как изменением прочностных характеристик пород, так и погружением водоносного горизонта.

Выполненные исследования позволили принять решения по защите здания, определив проектом 2 этапа выполнения работ (рис.3, 4).

Этап 1 – создание ограждающей защиты из буроинъекционных свай в непосредственной близости от здания, т. е. в зонах влияния ГДЗ Ш-1 и СВ-1, на глубину ниже области формирования оползня. Назначение свай – сохранение монолитности и предотвращение развития перемещений грунта в пятне строения в предельном состоянии перед обрушением склона.

Этап- 2 – сооружение защиты из буроинъекционных свай по внешней границе развития деформаций на глубину ниже области формирования оползневого процесса. Назначение свай – восприятие части нагрузок от сползающего грунта.

Для выполнения буровых работ на первом этапе применен малогабаритный буровой станок для подземного бурения НКР-100М с компрессором, на втором этапе - буровая установка УРБ 2-А2 с компрессором. Нагнетание инъектирующего раствора выполняли насосом

НБ-4. Обеспечение участка работ электроэнергией осуществляли автономной дизель-электростанцией.

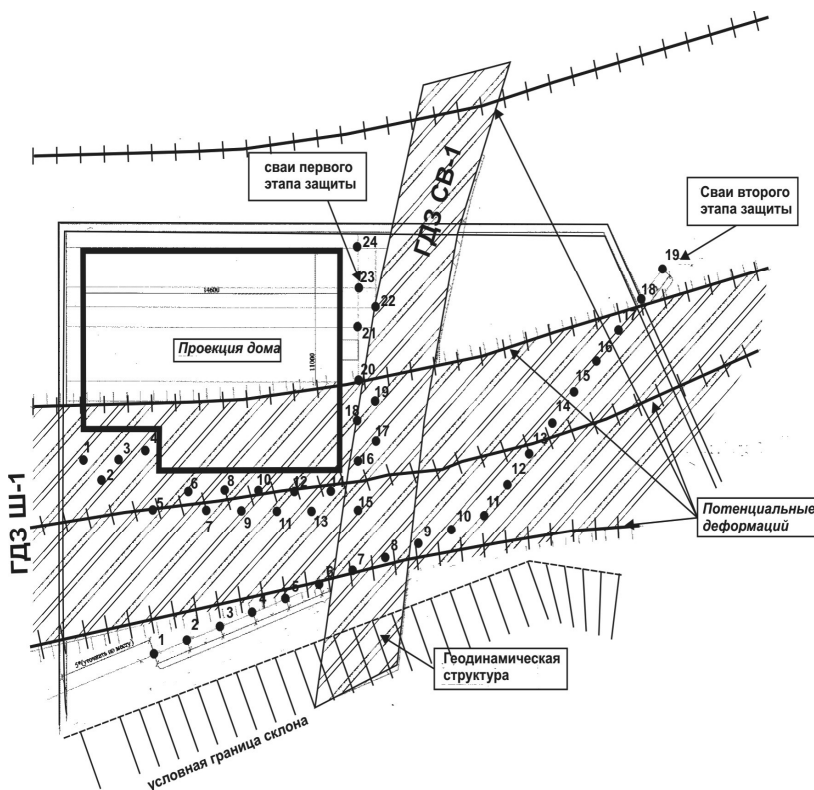


Рис. 3. Схема расположения аномальных геодинамических структур и буроинъекционных свай в пределах площадки строительства

На первом этапе было выполнено ограждение из 24-х буроинъекционных свай диаметром 200 мм и глубиной погружения 8 м. Сваи армировали перфорированной трубой-инъектором Ø89 мм, через которую проводили инъекцию цементирующего раствора в грунт. В качестве цементирующего использовали цементно-силикатный раствор плотностью $1820 \div 1840 \text{ кг}/\text{м}^3$. Расчетное давление нагнетания составляло 10 атм. Расчетный радиус распространения раствора составлял 5 м, что соответствует ширине области Ш-1, расчетный объем нагнетаний раствора в грунт – 0.4 м^3 на скважину через 4 зоны перфорации по высоте сваи.

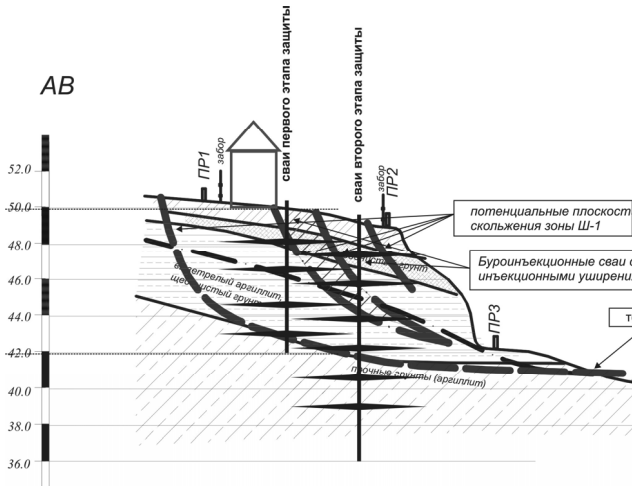


Рис. 4. Формирование плоскостей обрушения склона по данным геофизических исследований.

При выполнении нагнетания из всех зон перфорации, т.е. со всех глубин, наблюдали выходы цементирующего раствора на боковую поверхность склона. Анализ показывает, что выходы раствора происходили по наметившимся плоскостям скольжения грунтов выше по склону от сооружаемого ограждения и достигали расстояний до 15 м от скважины, в которую производили нагнетание. Это обусловило увеличение объемов нагнетаний цементирующего раствора в грунт до 0,6 м³ на скважину.



Рис. 5. Расположение скважин защиты первого этапа

На втором этапе было выполнено 19-ть буроинъекционных свай диаметром 200 мм и глубиной 15 м. Расчетную несущую способность свай на выдергивающие нагрузки (60 т) обеспечивали за счет инъекционных уширений. Расчетная несущая способность на боковые нагрузки составила 20 т. Расчетный объем нагнетаний раствора в грунт составлял 0,6 м³ на одну скважину с 6-ю зонами перфорации по высоте. Две зоны перфорации располагали ниже расчетной призмы обрушения и предназначались исключительно для обеспечения несущей способности сваи на выдергивание. Остальные зоны перфорации находились внутри зоны Ш-1 и служили для создания уплотняющих и армирующих элементов грунта.

Выполнение нагнетания, преимущественно из зон перфорации, находящихся внутри призмы обрушения зоны Ш-1, сопровождалось выходами цементирующего раствора на боковую поверхность склона. Анализ показывает, что выходы раствора происходили по наметившимся плоскостям скольжения грунтов ниже по склону от сооружаемой преграды и достигали расстояний до 20 м от скважины, в которую производили нагнетание. Основная часть выходов раствора наблюдалась в зоне выпора у подошвы склона.

Таким образом, можно сделать заключение, что в результате нагнетаний были зацементированы трещины по линии наметившихся контуров обрушения склона и, одновременно с этим, выполнено армирование грунта горизонтальными инъекционными уширениями. Выполненная защита позволила остановить обрушение склона вблизи здания. Постоянный мониторинг показывает, что новые трещины как в конструкциях строений, так и на поверхности склона не образуются, а рост существующих не происходит.



Рис. 6. Сооружение свай второго этапа защиты

Бурение скважин первой очереди полностью подтвердили результаты геофизических исследований о неоднородности гидрогеологического и геодинамического строения массива. Так, в скважинах, которые пробурены за пределами геодинамической зоны СВ-1, на глубине 4 – 5 м была обнаружена вода в трещиноватых аргиллитах. В пределах зоны СВ-1 в перемятых и нарушенных породах вода, очевидно, дренировала на более глубокие горизонты, и при бурении не встреченна.

Скважины второй очереди бурили после выполнения всех работ первого этапа. Прямым подтверждением эффективности выполненных цементационных работ явилось отсутствие воды при бурении 15-метровых скважин. Вода не встреченна ни скважинами вне геодинамической зоны СВ-1 (№№ 1÷5; 10÷19), ни скважинами, пробуренными в пределах этой зоны (№№6÷9). Выполненная поэтажная цементация массива через скважины первой очереди обеспечила не только закрепление массива, но и его гидроизоляцию в зоне формирования оползня, что имеет принципиальное значение при защите склона.

ВЫВОДЫ

1. Укрепление массива буроинъекционными сваями с инъекционными уширениями работами первого и второго этапа полностью исключили оползневые явления в пределах защищаемого здания.

2. Применение буроинъекционных технологий ООО «ТИССА» [1] позволяет комплексно решать задачи укрепления и гидроизоляции оползнеопасных массивов.

3. Комплекс геофизических исследований позволяет оценивать и целенаправленно изменять гидрогеологическое и геодинамическое состояние массива методами буроинъекционных технологий, при этом существенно снижается общая стоимость работы и повышается ее эффективность.

4. Разнообразное буровое оборудование и независимое электроснабжение участка работ позволяет выполнять работы в самых разнообразных по сложности условиях строительства.

ИСПОЛЬЗОВАННИЕ ИСТОЧНИКИ

1. Попов А.В., Тельных Н.Н., Цаплин Е.Г. и др. Применение инъекционных технологий в устройстве оснований зданий при различных геологических условиях Крыма. В сб.: Строительство и техногенная безопасность. Вып. 28.- Симферополь, НАПКС, 2009, С. 9-16.
2. «Сваи буроинъекционные висячие с цементными уширениями». - Патент Украины на полезную модель, № 19875 от 15.01.2007.
3. ДБН В 2.1-10-2009 Основи та фундаменти споруд./ ДР НДІБК Мінрегіонбуду України. –К.: Мінрегіонбуд України, 2009. -107 с.